

# LE SESSE DEL LAGO DI GARDA

PIETRO CALOI

## PARTE SECONDA

I - ANCORA DELLE SESSE INTERESSANTI L'INTERO LAGO. — Nella nota precedente <sup>(1)</sup> avevo osservato che il risultato erroneo conseguito da Defant <sup>(2)</sup> applicando alle sesse del lago di Garda un metodo di Chrystal, non era da attribuirsi, come successivamente ritenne l'Autore <sup>(3)</sup>, all'inefficacia del metodo, ma ad un errore sfuggito a Chrystal nella redazione prima della sua memoria e ripreso poi da Defant nella sua applicazione <sup>(\*)</sup>.

Nel suo primo studio sulle sesse del Garda, Defant aveva approssimato la curva normale del lago ad una combinazione di tratti rettilinei.

Nel caso di lago a fondo rettilineo, Chrystal sviluppò la seguente teoria. Se prendiamo l'origine della  $x$  in un punto dove la profondità è  $h$ , allora la legge della profondità è  $h(x) = h \left( 1 - \frac{x}{a} \right)$ , dove  $a$  è una costante, positiva o negativa a seconda che il fondo del lago è inclinato verso l'alto o verso il basso nella direzione delle  $x$  crescenti.

Con le notazioni consuete, avremo pertanto

$$\xi = h \left( 1 - \frac{x}{a} \right) = u = P \sin n(t - \tau) \quad , \quad \zeta = - \frac{\partial u}{\partial x} \quad [1]$$

(\*) Nello stesso errore incorsero i giapponesi Nakamura e Honda <sup>(4)</sup> che, applicando il metodo Chrystal dei tratti di rette raccordati al lago Hakoné ottennero per l'inmodale il valore di 22<sup>m</sup>.17, alquanto discosto da quello dato dalle osservazioni (15<sup>m</sup>.38) e confermato dal metodo Du Boys, opportunamente applicato. Gli AA. attribuirono l'insuccesso alla schematizzazione adottata per la curva normale, mentre in realtà dipendeva dal motivo su detto, l'equazione dei periodi, corretta, doveva essere (in sostituzione della [5] usata dagli autori):

$$\frac{a_2 \beta_1 h_1}{a_1 \beta_2 h_2} = \frac{\lambda_1 J_1(n\beta_1) + \mu_1 Y_1(n\beta_1)}{\lambda_1 J_0(n\beta_1) + \mu_1 Y_0(n\beta_1)} \frac{\lambda_2 J_0(n\beta_2) + \mu_2 Y_0(n\beta_2)}{\lambda_2 J_1(n\beta_2) + \mu_2 Y_1(n\beta_2)} \stackrel{(*)}{=} 0.$$

dove  $P$  è determinato dalla

$$\frac{d^2 P}{dx^2} + \frac{n^2 P}{gh \left(1 - \frac{x}{a}\right)} = 0. \quad [2]$$

Se si trasforma la [2] ponendo

$$\omega = 2na \sqrt{1 - \frac{x}{a}} / \sqrt{gh}, \quad P = R\omega, \quad [3]$$

otteniamo

$$\frac{d^2 R}{d\omega^2} + \frac{1}{\omega} \frac{dR}{d\omega} + \left(1 - \frac{1}{\omega^2}\right) R = 0, \quad [4]$$

che è un caso particolare dell'equazione di Bessel.

Se  $J_n(\omega)$  e  $Y_n(\omega)$  indicano le funzioni di Bessel e di Neumann, la soluzione generale della [4] è

$$R = A J_1(\omega) + B Y_1(\omega).$$

Consegue

$$\xi \omega = \left\{ A J_1(\omega) + B Y_1(\omega) \right\} \sin n(t - \tau). \quad [5]$$

Chrystal dà poi

$$\zeta = \frac{2a}{h} \left\{ A J_0(\omega) + B Y_0(\omega) \right\} \sin n(t - \tau). \quad [6]$$

Ma il coefficiente della [6] va invertito.

Per la prima delle [3] si ha infatti

$$\zeta = - \frac{\partial u}{\partial x} = - \frac{\partial u}{\partial \omega} \frac{d\omega}{dx} = \frac{2n^2 a}{gh\omega} \frac{\partial u}{\partial \omega}.$$

D'altronde per la 1<sup>a</sup> delle [1] e per la [5]

$$n^2 = \zeta \omega \frac{\omega h^2 g}{4n^2 a^2} = \omega \frac{h^2 g}{4n^2 a^2} \left[ A J_1(\omega) + B Y_1(\omega) \right] \sin n(t - \tau);$$

per cui

$$\zeta = \frac{h}{2a} \left[ \frac{A}{\omega} \frac{d}{d\omega} \right\{ \omega J_1(\omega) \} + \frac{B}{\omega} \frac{d}{d\omega} \left\{ \omega Y_1(\omega) \right\} \right] \sin n(t - \tau).$$

Ma per una proprietà fondamentale delle funzioni  $J_1(\omega)$ ,  $Y_1(\omega)$  è

$$\frac{1}{\omega} \frac{d}{d\omega} \left( \omega J_1(\omega) \right) = J_0(\omega) \quad , \quad \frac{1}{\omega} \frac{d}{d\omega} \left( \omega Y_1(\omega) \right) = Y_0(\omega).$$

Perciò

$$\zeta = \frac{h}{2a} \left\{ A J_0(\omega) + B Y_0(\omega) \right\} \sin n(t-\tau). \quad [7]$$

Chrystal si servì della [6] per sviluppare alcuni casi particolari (curva normale a forma di triangolo isoscele, inclinazione secondo una sola direzione, curva normale a forma di triangolo scaleno, ecc.), introducendo nuovi errori nei coefficienti.

Defant si valse pure della [6] nello sviluppo del caso da lui considerato, relativo al lago di Garda, anch'egli giungendo, naturalmente, a formule con i coefficienti più o meno alterati. Mi limito a riportare, corretta, la formula valevole per il calcolo dei periodi (formula [30] nella trattazione di Defant):

$$\begin{aligned} & \frac{\beta_2}{\alpha_2} J_1(n\alpha_2) \left[ J_1(n\alpha_1) Q_0 + J_0(n\alpha_1) Q_1 \right] + \\ & + \frac{\alpha_2}{\alpha_1} \frac{h_2}{h_1} J_0(n\alpha_2) \left[ J_1(n\alpha_1) R_0 + J_0(n\alpha_1) R_1 \right] = 0, \end{aligned} \quad [8]$$

dove

$$\begin{aligned} Q_0 &= J_0(n\beta_2) Y_0(n\alpha_2) - J_0(n\alpha_2) Y_0(n\beta_2) \quad , \quad Q_1 = J_0(n\beta_2) Y_1(n\alpha_2) - J_1(n\alpha_2) Y_0(n\beta_2) \\ R_0 &= J_0(n\alpha_2) Y_1(n\beta_2) - J_1(n\beta_2) Y_0(n\alpha_2) \quad , \quad R_1 = J_1(n\alpha_2) Y_1(n\beta_2) - J_1(n\beta_2) Y_1(n\alpha_2), \end{aligned} \quad [9]$$

essendo

$$\alpha_1 = \frac{2a_1}{\sqrt{gh_1}} \quad , \quad \alpha_2 = \frac{2a_2}{\sqrt{gh_1}} \quad , \quad \alpha_3 = \frac{2a_3}{\sqrt{gh_2}} \quad , \quad \beta_2 = \frac{2a_2}{\sqrt{gh_1}} \sqrt{1 - \frac{r}{a_2}} \quad [10]$$

Nel caso del Garda, Defant aveva ottenuto

$$a_1 = 178 \quad , \quad a_2 = 64 \quad , \quad a_3 = 145 \quad , \quad h_1 = 23500 \quad , \quad h_2 = 8490 \quad , \quad r = 37.$$

Con questi dati ho voluto risolvere la [8], tenendo conto delle [9] e [10], con il metodo delle approssimazioni successive e valendomi di tabelle delle funzioni di Bessel e Neumann. I primi tre valori di  $n$  che annullano la [8] sono:

$$n_1 = \cdot 00253 \quad , \quad n_2 = \cdot 0043 \quad , \quad n_3 = \cdot 00586.$$

a cui corrispondono i periodi

$$T_1 = 41^m.39 \quad , \quad T_2 = 24^m.35 \quad , \quad T_3 = 17^m.87.$$

che costituiscono i periodi delle sesse uninodale, binodale e trinodale del lago di Garda. Questi valori sono in buon accordo con quelli ottenuti da Verecelli e da me con altri metodi. Defant invece era pervenuto, a causa dei coefficienti sbagliati, ai valori  $42^m,8$ ;  $28^m,00$ ;  $20^m,13$ .

Resta comunque provato anche per questa via che la sessa osservata a Riva, con periodo fra  $23^m$  e  $30^m$  (circa  $30^m$  secondo Valentin e Teglio;  $28^m,58$  valore medio di 62 serie osservate da Defant), *non interessa l'intero lago*, almeno come sessa longitudinale. Il fatto però che secondo Verecelli, essa non compaia fra le registrazioni di Desenzano, fa ritenere che neppure come sessa trasversale può riguardare l'intero lago.

### SESSE DEL BACINO OCCIDENTALE

2. — Il lago di Garda non presenta una linea di valle unica, attorno al quale si verifichi la distribuzione più o meno simmetrica delle acque. La linea di valle, che in effetti appare singola nella parte settentrionale

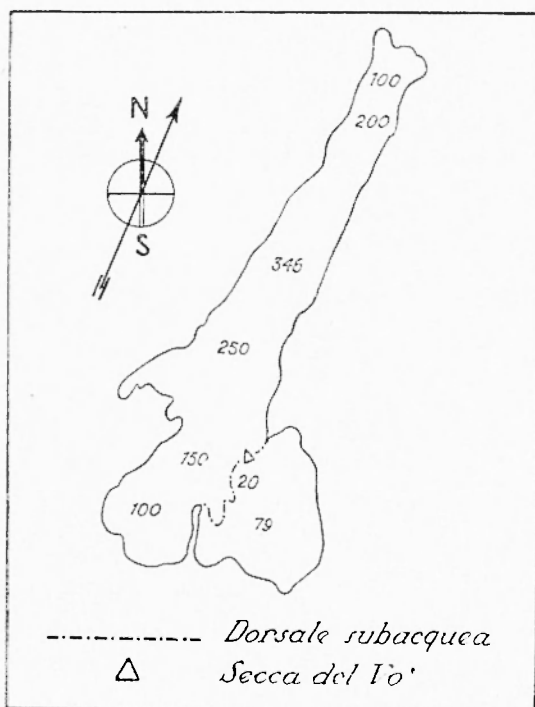


Fig. 1

Dorsale subacquea Sirmione-Punta S. Vigilio  
 (Da F. Maller - « Il Benaco », pag. 11)

del Garda fino all'altezza di Toscolano, ivi presenta una ramificazione secondaria verso il golfo di Salò e il fondo si appiattisce, sollevandosi a piano lievemente inclinato, dando luogo ad un canale più profondo a ridosso della linea Punta S. Vigilio-Sirmione. In questa zona si osserva poi la caratteristica precipua del lago di Garda: l'esistenza cioè di una dorsale subacquea che, con andamento più o meno contorto e continuo, collega la penisola di Sirmione a Punta S. Vigilio (fig. 1): tale dorsale, che, in più punti, si solleva a 20 m. dalla superficie delle acque

Tabella I

| Sezioni | $\alpha$<br>km<br>(da<br>Riva) | $S(\alpha)$<br>$10^6 \text{ cm}^2$ | $b(\alpha)$<br>$10^3 \text{ cm}$ | $v(\alpha)$                    | $\nu(\alpha)$ | $\frac{z^2(1-z)^2}{\sigma(z)}$ | $\frac{z^2(1-z)^2}{\sigma(z)}$    | $\frac{z^2(1-z)^2}{\sigma(z)}$              | $M \cdot z$ | $M \cdot z^2$ | $M \cdot z^3$ | $M \cdot z^4$ |
|---------|--------------------------------|------------------------------------|----------------------------------|--------------------------------|---------------|--------------------------------|-----------------------------------|---|-------------|---------------|---------------|---------------|
|         |                                |                                    |                                  | $6,25 \times 10^{-4}$<br>$m^2$ | $z$           | $\sigma(z)$<br>$hm^3$          | $\Delta Z$<br>[10 <sup>-6</sup> ] | $\frac{z^2(1-z)^2}{\sigma(z)}$<br>$10^{-2}$ | $10^{-2}$   | $10^{-2}$     | $10^{-2}$     |               |
| 1       | 0.0                            | 0.0                                | 0.0                              | 0.00000                        | 0.0           | —                              | —                                 | 0.0   | 0.0         | 0.00000       | 0.00000       | 0.00000       |
| 2       | .25                            | 2030.0                             | 31.1                             | 18.6                           | 0.00424       | 698.3                          | 0.0236                            | .00121                                      | 0.01213     | .00005        | .00000        | .00000        |
| 3       | .60                            | 3885.0                             | 31.0                             | 36.5                           | .00831        | 1204.35                        | .0531                             | .00107                                      | .02365      | .00020        | .00000        | .00000        |
| 4       | 1.10                           | 5042.5                             | 32.5                             | 60.9                           | .01387        | 1638.8                         | .1159                             | .00556                                      | .06144      | .00089        | .00001        | .00000        |
| 5       | 1.6                            | 5247.5                             | 30.0                             | 85.3                           | .01943        | 1574.25                        | .2287                             | .00556                                      | .12716      | .00217        | .00005        | .00000        |
| 6       | 2.1                            | 4575.5                             | 27.3                             | 109.5                          | .02491        | 1353.4                         | .4359                             | .00551                                      | .21018      | .00559        | .00015        | .00000        |
| 7       | 2.6                            | 4725.0                             | 23.5                             | 129.8                          | .02956        | 1110.4                         | .7385                             | .00462                                      | .31119      | .01009        | .00050        | .00000        |
| 8       | 3.1                            | 4860.0                             | 21.3                             | 148.4                          | .03378        | 1181.0                         | .9060                             | .00422                                      | .38233      | .01292        | .00041        | .00000        |
| 9       | 3.6                            | 5080.0                             | 21.8                             | 168.4                          | .03836        | 1239.8                         | 1.0795                            | .00458                                      | .49441      | .01897        | .00073        | .00003        |
| 10      | 4.6                            | 6020.0                             | 26.4                             | 209.1                          | .04763        | 1589.3                         | 1.2962                            | .00927                                      | 1.20158     | .05723        | .00273        | .00013        |
| 11      | 5.6                            | 6455.0                             | 27.0                             | 251.2                          | .05721        | 1742.85                        | 1.6697                            | .00958                                      | 1.59957     | .09154        | .00521        | .00030        |
| 12      | 6.6                            | 7230.0                             | 29.9                             | 305.9                          | .06967        | 2161.8                         | 1.9128                            | .01246                                      | 2.42073     | .16865        | .01175        | .00082        |
| 13      | 7.6                            | 8240.0                             | 33.5                             | 361.9                          | .08213        | 2793.9                         | 2.0453                            | .01276                                      | 2.61235     | .21534        | .01775        | .00116        |
| 14      | 8.6                            | 9285.0                             | 39.8                             | 422.1                          | .09621        | 3695.4                         | 2.0158                            | .01378                                      | 2.81911     | .27123        | .02712        | .00261        |
| 15      | 9.6                            | 8116.0                             | 32.8                             | 478.4                          | .10896        | 2660.1                         | 3.5450                            | .01275                                      | 1.54987     | .92494        | .01925        | .00537        |
| 16      | 10.6                           | 8165.0                             | 31.8                             | 529.1                          | .12051        | 2691.9                         | 4.1718                            | .01155                                      | 1.81843     | .58067        | .06998        | .00843        |
| 17      | 11.6                           | 8145.0                             | 31.9                             | 578.7                          | .13181        | 2598.3                         | 5.0418                            | .01130                                      | 5.69723     | .75095        | .09898        | .01305        |
| 18      | 12.6                           | 8755.0                             | 30.8                             | 628.6                          | .14317        | 2449.3                         | 6.2208                            | .01136                                      | 7.06683     | 1.01176       | .11486        | .02074        |
| 19      | 13.6                           | 7800.0                             | 31.0                             | 682.6                          | .15547        | 2652.0                         | 6.5008                            | .01230                                      | 7.99598     | 1.24131       | .19327        | .03005        |
| 20      | 14.6                           | 8120.0                             | 33.8                             | 732.7                          | .16683        | 2744.6                         | 7.0429                            | .01144                                      | 8.03595     | 1.31101       | .22379        | .03765        |
| 21      | 15.6                           | 7950.0                             | 30.0                             | 793.7                          | .18078        | 3021.0                         | 7.2592                            | .01390                                      | 10.09029    | 1.82112       | .32976        | .05941        |
| 22      | 16.1                           | 8070.0                             | 36.5                             | 827.2                          | .18811        | 2945.55                        | 7.9374                            | .00763                                      | 6.05624     | 1.11106       | .21498        | .01050        |
| 23      | 16.6                           | 8280.0                             | 36.3                             | 858.6                          | .19510        | 3005.6                         | 8.2017                            | .00669                                      | 5.48891     | 1.07089       | .20693        | .01076        |
| 24      | 17.1                           | 8095.0                             | 35.0                             | 885.6                          | .20171        | 2833.25                        | 9.1520                            | .00661                                      | 6.04947     | 1.22021       | .24613        | .01965        |
| 25      | 17.6                           | 8740.0                             | 40.2                             | 916.4                          | .20872        | 3513.5                         | 7.7643                            | .00701                                      | 5.41277     | 1.13601       | .23711        | .01919        |
| 26      | 18.6                           | 9655.0                             | 37.5                             | 978.1                          | .22278        | 3620.6                         | 8.2804                            | .01406                                      | 11.61224    | 2.59366       | .57782        | .02868        |
| 27      | 19.6                           | 11020.0                            | 42.3                             | 1014.4                         | .23719        | 4661.5                         | 7.0235                            | .01411                                      | 10.12086    | 2.10057       | .56939        | .03505        |
| 28      | 20.6                           | 11935.0                            | 46.1                             | 1112.9                         | .25348        | 5502.0                         | 6.5005                            | .01629                                      | 10.60235    | 2.68748       | .68122        | .04768        |
| 29      | 21.1                           | 11415.0                            | 45.5                             | 1151.1                         | .26218        | 5193.8                         | 7.2017                            | .00870                                      | 6.26809     | 1.64337       | .13086        | .11296        |
| 30      | 21.6                           | 11635.0                            | 45.9                             | 1186.9                         | .27033        | 5340.5                         | 7.2858                            | .00815                                      | 5.93793     | 1.33993       | .11730        | .03171        |
| 31      | 22.6                           | 12045.0                            | 49.7                             | 1263.1                         | .28769        | 6006.2                         | 6.9911                            | .01736                                      | 12.13655    | 3.19156       | 1.09149       | .28898        |
| 32      | 23.6                           | 12825.0                            | 51.3                             | 1316.0                         | .30657        | 6579.2                         | 6.8686                            | .01888                                      | 12.96792    | 3.97558       | 1.24879       | .37364        |
| 33      | 24.6                           | 13760.0                            | 56.3                             | 1335.5                         | .32696        | 7446.9                         | 6.2502                            | .02039                                      | 12.74116    | 4.16683       | 1.36239       | .11545        |
| 34      | 25.6                           | 13570.0                            | 59.2                             | 1521.2                         | .34176        | 8033.4                         | 6.3916                            | .02020                                      | 12.91709    | 4.48130       | 1.55677       | .51015        |
| 35      | 26.6                           | 13145.0                            | 58.8                             | 1622.2                         | .36918        | 7729.3                         | 7.0213                            | .02332                                      | 15.65154    | 5.79032       | 2.13910       | .79617        |
| 36      | 27.6                           | 12920.0                            | 57.0                             | 1713.8                         | .39125        | 7364.4                         | 7.7033                            | .02177                                      | 16.77008    | 6.56129       | 2.56744       | 1.00133       |
| 37      | 28.6                           | 12480.0                            | 55.7                             | 1807.2                         | .41162        | 6951.4                         | 8.4386                            | .02037                                      | 17.18913    | 7.07554       | 2.91242       | 1.19881       |
| 38      | 29.6                           | 12370.0                            | 58.2                             | 1895.8                         | .43180        | 7199.3                         | 8.3619                            | .02018                                      | 16.87131    | 7.28633       | 3.11623       | 1.35851       |
| 39      | 30.6                           | 12910.0                            | 62.9                             | 1987.6                         | .45270        | 8120.4                         | 7.5600                            | .02090                                      | 15.80040    | 7.15284       | 3.23809       | 1.46588       |
| 40      | 31.6                           | 12210.0                            | 62.3                             | 2095.1                         | .47419        | 7606.8                         | 8.1822                            | .02119                                      | 20.03821    | 9.56203       | 1.56290       | 2.17737       |
| 41      | 32.6                           | 11180.0                            | 59.5                             | 2189.8                         | .49876        | 6830.6                         | 9.1500                            | .02157                                      | 19.73655    | 9.81380       | 1.90270       | 1.22135       |
| 42      | 33.6                           | 13755.0                            | 81.3                             | 2295.5                         | .52283        | 11182.8                        | 5.5657                            | .02107                                      | 13.39661    | 7.00117       | 3.66198       | 1.91459       |
| 43      | 34.6                           | 13535.0                            | 80.2                             | 2413.8                         | .54978        | 10855.1                        | 5.6114                            | .02695                                      | 15.21166    | 8.36307       | 4.59765       | 2.52781       |
| 44      | 35.6                           | 11180.0                            | 91.1                             | 2536.1                         | .57763        | 13191.3                        | 4.5121                            | .02785                                      | 12.56620    | 7.25861       | 1.19279       | 2.12488       |
| 45      | 36.6                           | 14855.0                            | 100.3                            | 2679.0                         | .61018        | 14899.6                        | 3.7974                            | .03255                                      | 12.36054    | 7.54215       | 1.69208       | 3.08104       |
| 46      | 37.6                           | 14130.0                            | 101.5                            | 2815.2                         | .64120        | 14765.85                       | 3.5846                            | .03102                                      | 11.11913    | 7.12978       | 1.97161       | 2.93132       |
| 47      | 38.1                           | 13355.0                            | 107.5                            | 2898.1                         | .66015        | 14356.6                        | 3.5057                            | .01895                                      | 6.61330     | 4.38557       | 2.89514       | 1.91123       |
| 48      | 38.6                           | 11165.0                            | 98.5                             | 2986.6                         | .68024        | 10997.5                        | 4.3019                            | .02009                                      | 8.64252     | 5.85899       | 3.99912       | 2.72036       |
| 49      | 39.1                           | 10165.0                            | 100.7                            | 3072.8                         | .69987        | 10538.3                        | 4.4866                            | .01963                                      | 8.21830     | 5.75174       | 4.02547       | 2.81731       |
| 50      | 39.6                           | 9670.0                             | 82.3                             | 3150.6                         | .71759        | 7958.4                         | 5.1606                            | .01722                                      | 9.11458     | 6.56206       | 4.70886       | 3.37903       |
| 51      | 40.1                           | 9110.0                             | 74.5                             | 3218.0                         | .73295        | 7010.15                        | 5.4617                            | .01536                                      | 8.39378     | 6.15222       | 1.50927       | 3.30507       |
| 52      | 40.6                           | 8625.0                             | 68.0                             | 3279.8                         | .74702        | 5865.0                         | 6.0887                            | .01407                                      | 8.56680     | 6.39957       | 1.76061       | 3.57121       |
| 53      | 41.1                           | 8010.0                             | 61.5                             | 3333.4                         | .75923        | 1926.15                        | 6.7812                            | .01221                                      | 8.28351     | 6.28909       | 1.77486       | 3.62522       |
| 54      | 41.6                           | 6880.0                             | 63.5                             | 3383.4                         | .77062        | 4368.8                         | 7.1530                            | .01139                                      | 8.14727     | 6.27845       | 1.83830       | 3.72819       |
| 55      | 42.6                           | 6570.0                             | 60.3                             | 3472.8                         | .79098        | 3961.7                         | 6.8986                            | .02036                                      | 11.04555    | 11.10975      | 8.78758       | 6.50800       |
| 56      | 43.6                           | 6560.0                             | 62.0                             | 3571.8                         | .81353        | 4067.2                         | 5.6575                            | .02255                                      | 12.75766    | 10.37874      | 8.11311       | 6.86897       |
| 57      | 44.6                           | 6435.0                             | 70.2                             | 3680.8                         | .83836        | 4517.1                         | 4.0665                            | .02483                                      | 10.09712    | 8.46502       | 7.09673       | 5.94961       |
| 58      | 45.6                           | 5730.0                             | 77.0                             | 3798.2                         | .86510        | 4112.1                         | 3.9870                            | .02674                                      | 8.25461     | 7.14199       | 6.17776       | 5.31438       |
| 59      | 46.6                           | 4815.0                             | 65.8                             | 3915.2                         | .89174        | 3168.3                         | 2.9416                            | .02661                                      | 7.83642     | 6.98805       | 6.23152       | 5.55690       |
| 60      | 47.6                           | 4950.0                             | 71.5                             | 4024.5                         | .91661        | 3539.25                        | 1.6501                            | .02190                                      | 4.10875     | 3.76624       | 3.45229       | 2.90071       |
| 61      | 48.1                           | 4510.0                             | 75.0                             | 4081.6                         | .92964        | 3405.0                         | 1.2570                            | .01300                                      | 1.63410     | 1.51912       | 1.41224       | 1.31287       |
| 62      | 48.6                           | 3645.0                             | 77.5                             | 4111.9                         | .91338        | 2821.9                         | 1.0124                            | .01374                                      | 1.89104     | 1.31228       | 1.23798       | 1.10176       |
| 63      | 49.1                           | 2335.0                             | 75.3                             | 4204.9                         | .95773        | 1762.9                         | .9303                             | .01435                                      | 1.33498     | 1.27855       | 1.22451       | 1.12318       |
| 64      | 49.6                           | 1645.0                             | 72.7                             | 4264.7                         | .97135        | 1171.1                         | .6558                             | .01362                                      | .89320      | .86761        | 0.81275       | .81861        |
| 65      | 50.1                           | 980.0                              | 44.5                             | 4312.8                         | .98230        | 136.1                          | .6879                             | .01095                                      | .57325      | .73992        | .72882        | .71396        |
| 66      | 50.6                           | 365.0                              | 12.1                             | 4345.8                         | .98982        | 153.7                          | .6506                             | .00752                                      | .48925      | .48427        | .47931        | .47446        |
| 67      | 51.15                          | 0.0                                | 0.0                              | 4390.5                         | 1.00000       | 0.0                            | —                                 | —   | 0.01018     | 0.00000       | 0.00000       | 0.00000       |

495.30903    232.03469    135.66569    90.27715    65.02238

(Monte Cor, M. Saol, M. Croce, M. Costiol, M. S. Procol, ecc), e, in un punto, — Monte Vò — quasi affiora (2-4 m. dal livello esterno), divide praticamente il lago in due bacini, che presentano la comunicazione più profonda (60 m.) attraverso uno stretto canale fra la secca del Vò e il Monte Merlo (fig. 2). Il bacino occidentale, molto più lungo e profondo, va da Desenzano a Riva; quello orientale, che diremo di Peschiera - Garda, presenta la massima profondità di 79 metri in un punto del canale subacqueo che, con qualche soluzione di continuità collega la secca del Vò con Peschiera, mentre in una vasta zona fra la penisola di Sirmione e Peschiera lo strato di acqua è molto sottile.

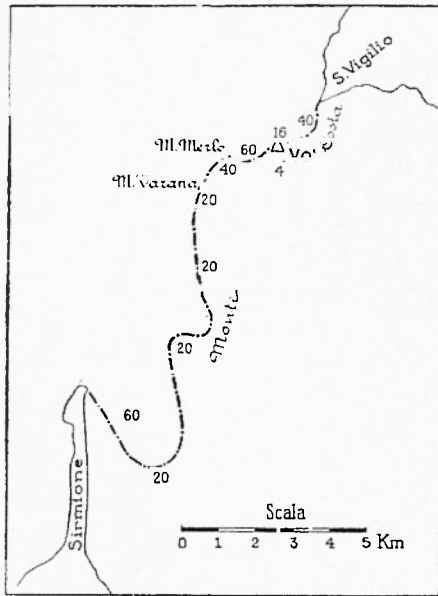


Fig. 2

Dorsale subacquea Sirmione-Punta S. Vigilio  
(Da F. Maller - « Il Benaco », pag. 20)

Questi bacini possono presentare le condizioni per la coesistenza di moti liberi indipendenti. In questa parte del lavoro mi sono proposto di ricercare dette condizioni per quanto riguarda il bacino occidentale.

Gli elementi necessari al calcolo sono stati dedotti da una carta del Garda al 25.000 (Ist. Geogr. Militare), contenente le linee isobate di 25 in 25 m (esclusa l'estremità superiore del lago, per la quale supplii con una carta a scala più piccola). La parte occidentale del lago, limitata ad oriente, da Punta S. Vigilio a Sirmione, dalla così detta linea dei monti subacquei (vedi fig. 3), è stata suddivisa in 67 sezioni trasversali, perpendicolarmente alla linea di valle Riva-Desenzano. Fu escluso dal computo il piccolo bacino compreso fra l'Isola del Garda, gli Scogli dell'Altare, l'Isola S. Biagio e Punta S. Fedele e da qui lungo la costa occidentale, fino a Punta S. Fermo, di fronte all'Isola del Garda: il fondo di tale bacino, della profondità di ca. 50 m. nella parte orientale si solleva fino ad affiorare in superficie nelle scogliere fra l'Isola di S. Biagio e l'Isola del Garda (che lo

# LAGO DI GARDA

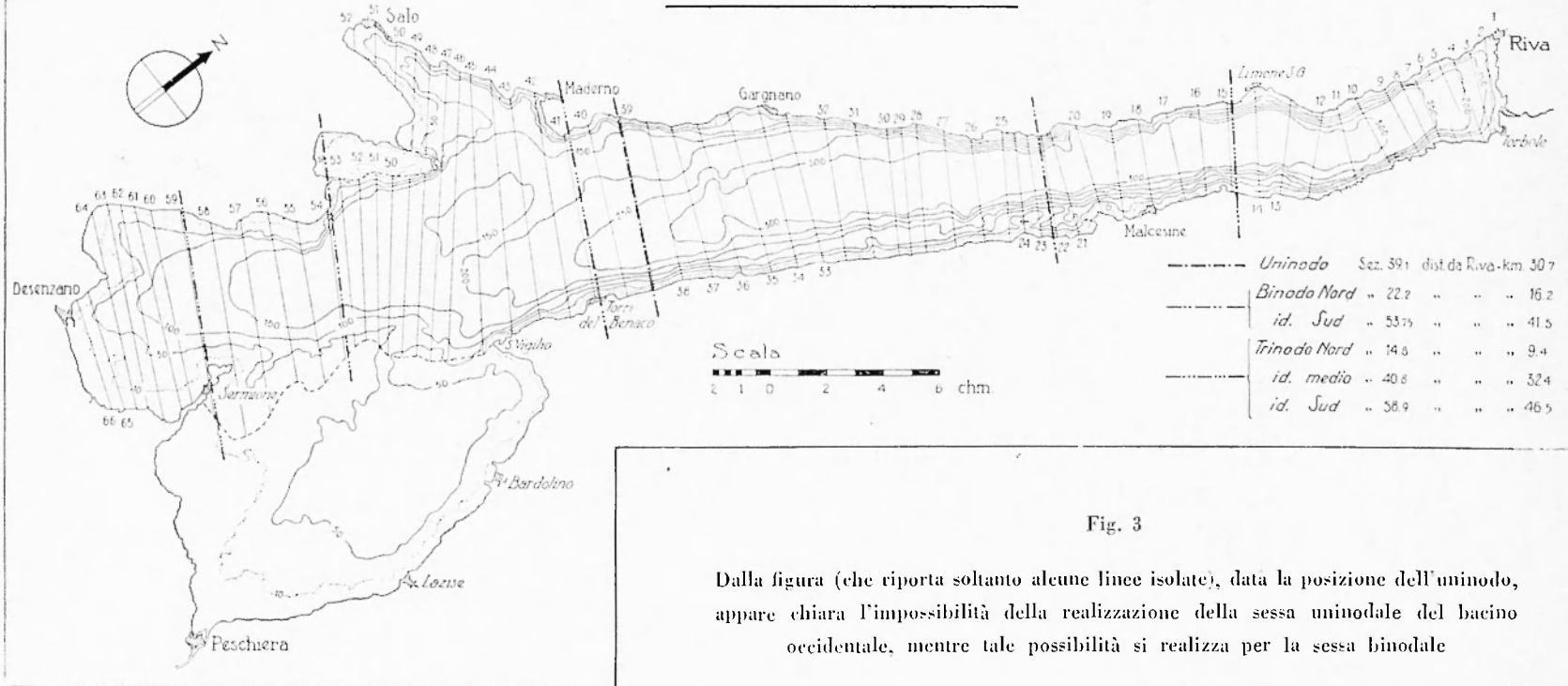


Fig. 3

Dalla figura (che riporta soltanto alcune linee isolate), data la posizione dell'uninodo, appare chiara l'impossibilità della realizzazione della sessa uninodale del bacino occidentale, mentre tale possibilità si realizza per la sessa binodale

limita a Nord) formando praticamente un laghetto a sè. L'area delle sezioni trasversali  $S(x)$  e delle superficie parziali  $v(x)$  furono determinate con un planimetro. I risultati delle misure sono riportati nella tabella I.

L'applicazione del metodo di Hidaka fu limitata al caso  $m=2$ ; si ritenne superflua l'estensione  $m=3$  elaborata nel lavoro precedente. La tabella I contiene i risultati dei calcoli. Anche in questo caso si è dovuto ricorrere all'integrazione numerica, data la complessità della

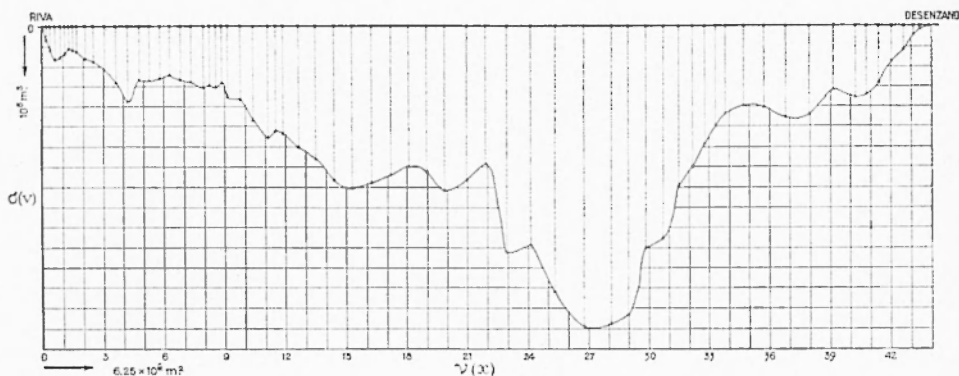


Fig. 4  
Curva normale del bacino occidentale del Garda

curva normale relativa al bacino occidentale del Garda (fig. 4). Gli integrali risultano avere i seguenti valori:

$$I_0 = 4,9530903 \quad ; \quad I_1 = 2,3203469 \quad ; \quad I_2 = 1,3566569 \quad ;$$

$$I_3 = \cdot 9027715 \quad ; \quad I_4 = \cdot 6502238.$$

*Periodi.* — Trascurando il caso  $m=0$ , per  $m=1$  e per la [22] della nota precedente, si ha

$$(I_0 I_2 - I_1^2) \lambda^2 - \left( \frac{2}{15} I_0 - \frac{1}{3} I_1 + \frac{1}{3} I_2 \right) \lambda + \frac{1}{60} = 0,$$

e quindi

$$1335634 \lambda^2 - 339182 \lambda + 16667 = 0$$

$$\lambda_1 = \cdot 066611 \quad , \quad \lambda_2 = \cdot 187337;$$



e poiché la superficie totale del bacino occidentale (esclusa la porzione S. Biagio - Isola del Garda) è  $a=274406250 \text{ m}^2$ , avremo

$$T_1 = \frac{2\pi a}{\sqrt{\lambda_1 g}} = 35^m,55 \quad , \quad T_2 = 21^m,2.$$

Per  $m=2$ , dalla [23] della Nota precedente

$$\begin{aligned} & \left( I_0 I_2 I_4 - I_0 I_3^2 - I_1^2 I_4 + 2 I_1 I_2 I_3 - I_2^3 \right) \lambda^3 - \left[ \frac{3}{35} (I_0 I_2 - I_1^2) + \frac{1}{5} ( - I_0 I_3 + \right. \\ & \left. + I_1 I_2 + I_1 I_3 ) + \frac{2}{15} I_0 I_4 + \frac{1}{3} ( - I_1 I_4 - I_2^2 + I_2 I_3 + I_2 I_4 - I_3^2 ) \right] \lambda^2 + \\ & \left. + \left( \frac{1}{700} I_2 - \frac{3}{350} I_3 + \frac{53}{2100} I_4 - \frac{1}{30} I_2^2 + \frac{1}{60} I_4 \right) \lambda - \frac{1}{10500} = 0, \end{aligned}$$

si ha

$$184545 \lambda^3 - 123359 \lambda^2 + 21712 \lambda - 952,38 = 0,$$

da cui

$$\lambda_1 = .0664723 \quad , \quad \lambda_2 = .18716 \quad , \quad \lambda_3 = .41482$$

e quindi

$$T_1 = 35^m,58 \quad , \quad T_2 = 21^m,21 \quad , \quad T_3 = 14^m,25,$$

che sarebbero i valori relativi alle prime tre sesse del bacino occidentale del Garda. L'esame dei nodi ci permetterà di stabilire quali di queste sesse sono dinamicamente possibili.

*Nodi.* — Nel caso  $m=2$ , e valendoci della [37] della nota precedente, per l'onda *uninodale* si ha l'equazione

$$1,2356 z^3 - 2,6484 z^2 + 3,1478 z - 1 = 0,$$

essendo  $z = \frac{v}{a}$ . L'unica soluzione minore dell'unità (come il problema esige) di questa equazione è

$$z_1 = .45476.$$

La sezione dell'uninodo è quindi 39.084; e l'uninodo dista da Riva km 30.684.

L'onda uninodale del bacino occidentale del Garda verrebbe ad avere la linea nodale nella parte settentrionale del lago, al di fuori dell'apertura Sirmione - S. Vigilio che unisce i due bacini fra loro: *la sessa uninodale del bacino occidentale del Garda non è quindi fisicamente possibile*. Difatti le osservazioni non hanno mai fornito esempi di onde aventi tale periodo.

Il valore di  $\lambda$  corrispondente all'onda binodale è, per  $m=2$ ,  $\lambda = \cdot 18716$ . Si ha allora

$$\cdot 9980 z^3 - 7.8345 z^2 + 6,7240 z - 1 = 0,$$

che ammette le soluzioni minori di 1

$${}_2z_1 = \cdot 18959 \quad , \quad {}_2z_2 = \cdot 76662.$$

La sezione del *binodo Nord* è pertanto 22,176, distante da Riva km 16,188; la sezione del *binodo Sud* è 53,75, distante da Riva km 41,475.

Il nodo meridionale della sessa binodale cade quindi (v. fig. 3) in piena zona di comunicazione dei due bacini del Garda: *la sessa bi-*

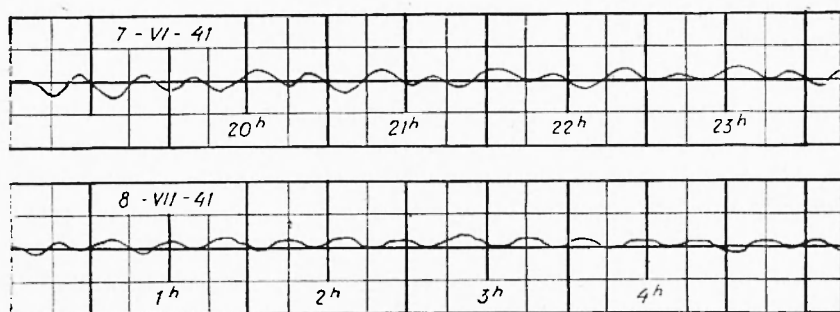


Fig. 5

Esempi di sessa binodali (registrate a Riva) interessanti il solo bacino occidentale del Garda (riduz. 1/6)

*nodale del bacino occidentale è perciò fisicamente possibile*. Il suo periodo teorico risulta di  $21^m,2$ , mentre il periodo calcolato per l'intero lago era di  $23^m,66$ . Resta così chiaramente spiegata la gamma piuttosto estesa dei valori osservati per la sessa binodale del Garda, ritenuta unica, valori che vanno da  $20^m$  a  $24^m$ : si tratta in realtà di *due* sessa binodali, con periodo diverso: ecco perché, considerata come sessa unica, la media dei valori osservati risulta leggermente inferiore alla sessa interessante l'intero lago e leggermente superiore a quella relativa al bacino occidentale (fig. 5).

Per la sessa *trinodale*, corrispondente a  $\lambda = \cdot 41482$ , si ha l'equazione dei nodi

$$21,452 z^3 - 31,933 z^2 + 12,562 z - 1 = 0,$$

che ammette le soluzioni

$${}_3z_1 = \cdot 10625 \quad , \quad {}_3z_2 = \cdot 49370 \quad , \quad {}_3z_3 = \cdot 88863.$$

I nodi della sessa trinodale del bacino occidentale del Garda corrispondono quindi alle sezioni 14,787; 40,765; 58,883 e distano da Riva km 9,39; 32,365; 46,48 rispettivamente.

La sessa trinodale ha quindi qualche probabilità di effettiva realizzazione.

3. — *La sessa di 30<sup>m</sup> circa.* Questa oscillazione registrata solo a Riva (limitatamente alla parte occidentale), non può interessare che la parte settentrionale del Garda. Defant, nel suo secondo lavoro sulle sesse del Benaco, ritiene che essa riguardi il tratto Riva - Toscolano, presentando in corrispondenza di quest'ultima località la sua linea nodale, il che equivale a considerare l'intera parte settentrionale del Garda come una baia.

E' noto che l'oscillazione libera dell'acqua in una baia è uguale a quella di un lago di lunghezza doppia, tenuto conto della correzione di bocca. Perciò se  $l$  ed  $h$  denotano rispettivamente la lunghezza e la profondità di una baia rettangolare di profondità costante, il periodo  $T$  dell'oscillazione libera nella baia, avente il nodo alla sua bocca e il ventre al suo estremo, sarà dato dalla formula

$$T = \frac{4l}{\sqrt{gh}}, \quad [11]$$

quando si trascuri la correzione dovuta alla bocca.

Una formula che dà un valore approssimato di detta correzione fu trovata da geofisici giapponesi (1), che si valsero negli sviluppi analitici delle conclusioni raggiunte da Rayleigh nello studio della reazione dell'aria sopra un pistone rettangolare vibrante, di lunghezza molto grande rispetto alla larghezza. Fatto

$$P = \frac{1}{2\pi} \left( \frac{3}{2} - \gamma - l g \frac{\pi b}{4l} \right),$$

dove  $\gamma$  è la costante di Mascheroni ( $\gamma = 0.5772\dots$ ) e  $b$  la larghezza della bocca, la correzione di bocca è data dall'espressione

$$\left( 1 + 4P \frac{b}{l} \right)^{\frac{1}{2}}, \quad [12]$$

per la quale il periodo va moltiplicato.

Il problema di cercare il periodo d'oscillazione in baie di forma irregolare è riducibile a quello delle sesse in un lago a forma irre-

golare. Per un lago la cui forma non differisca molto da quella di un bacino rettangolare, i citati scienziati giapponesi hanno svolto una teoria che conduce alla formula

$$T_i = \frac{2l}{i\sqrt{gh_0}} \left\{ 1 + \frac{1}{2lb_0} \int_0^l \Delta b(x) \cos \frac{2i\pi x}{l} dx + \frac{1}{2lS_0} \int_0^l \Delta S(x) \cos \frac{2i\pi x}{l} dx \right\},$$

[13]

dove  $l$  indica la lunghezza dell'intero bacino, misurata lungo una linea parallela alla linea di valle;  $x$  la distanza da uno degli estremi del bacino;  $b(x)$  la larghezza e  $S(x)$  la superficie della sezione trasversale condotta normalmente alla linea di valle alla distanza  $x$ ;  $b_0$  la larghezza media,  $S_0$  la sezione media e  $h_0$  la profondità media dell'intero bacino; infine è

$$\Delta b(x) = b(x) - b_0, \quad \Delta S(x) = S(x) - S_0.$$

Nella parentesi, la prima espressione seguente l'unità indica la correzione per la larghezza, la seconda la correzione per il volume; nell'insieme, costituiscono la correzione totale della semplice formula, detta di Merian.

$$T_i = \frac{2l (*)}{i\sqrt{gh_0}}.$$

Applicando la [13] al caso di una baia, basta considerare un lago la cui forma sia simmetrica rispetto al piano verticale attraverso la linea di bocca, e cercare il periodo delle sesse di tale lago. Questo periodo, corretto dall'azione della bocca, è il richiesto periodo d'oscillazione della baia.

Feci, in questo senso, una prima applicazione della [13] nella validità dell'ipotesi di Defant, considerando come bocca della baia la sezione all'altezza di Toscolano. I calcoli però, tenuto conto della correzione di bocca, portarono, com'era da prevedere, ad un valore del

(\*) Sterneck (\*) nell'applicazione di questo metodo al Mar Nero, per una svista, in corrispondenza della linea centrale del mare, in luogo di  $-1$  (valore di  $\cos \frac{2\pi}{l} \cdot x$ ), pone 0; le correzioni della formula di Merian da lui determinate ( $-.067$ ,  $-.094$ ) vanno sostituite rispettivamente con  $-.065$  e  $-.101$  e il periodo del Mar Nero risulta pertanto di  $4^h.94$  anziché di  $4^h.98$ .

periodo troppo elevato, dell'ordine di 45<sup>m</sup>. La sessa di 30<sup>m</sup> non interessa quindi l'intera parte settentrionale del lago.

Riapplicai la [13] e la [12] al tratto che da Riva va alla sezione distante 21.1 km, corrispondente alla zona più profonda del lago.

I dati per il calcolo della sessa uninodeale (*i*=1) sono contenuti nella tabella N. 2.

Poiché

$$\frac{l}{2} = 21,1, \quad b_0 = 3,34 \text{ km}, \quad S_0 = 7752 \text{ km}^2, \quad h_0 = 232,1 \text{ m}$$

consegue

$$\frac{1}{lb_0} \int_0^{\frac{l}{2}} \Delta b(x) \cos 2\pi \frac{x}{l} dx = -0,5741 ;$$

$$\frac{1}{lS_0} \int_0^{\frac{l}{2}} \Delta S(x) \cos 2\pi \frac{x}{l} dx = -0,8026 ; \quad T = \frac{2l}{\sqrt{gh_0}} \times 86233 = 25^m,41.$$

TABELLA N. 2

| SEZIONI | x<br>km | b(x)<br>10 <sup>4</sup> cm | Δb(x)  | S(x)<br>km <sup>2</sup> | ΔS(x)  | cos 2π $\frac{x}{l}$ |
|---------|---------|----------------------------|--------|-------------------------|--------|----------------------|
| 1       | 0       | 0.0                        | -33.4  | 0.0                     | -7752  | +1.0000              |
| 2       | 6       | 31.0                       | -2.4   | 3885                    | -3867  | + .9960              |
| 3       | 1.6     | 30.0                       | -3.4   | 5248                    | -2504  | + .9718              |
| 4       | 2.6     | 23.5                       | -9.9   | 1725                    | -3027  | + .9260              |
| 5       | 3.6     | 24.8                       | -8.6   | 5030                    | -2672  | + .8598              |
| 6       | 4.6     | 26.4                       | -7.0   | 6020                    | -1732  | + .7745              |
| 7       | 5.6     | 27.0                       | -6.4   | 6455                    | -1297  | + .6721              |
| 8       | 6.6     | 29.9                       | -3.5   | 7230                    | -6522  | + .5548              |
| 9       | 7.6     | 33.5                       | + .4   | 8340                    | + 6588 | + .4251              |
| 10      | 8.6     | 39.8                       | + 6.4  | 9265                    | + 4533 | + .2862              |
| 11      | 9.6     | 32.8                       | -6     | 8110                    | + 6358 | + .1409              |
| 12      | 10.6    | 31.8                       | -1.6   | 8445                    | + 6713 | - .0075              |
| 13      | 11.6    | 31.9                       | -1.5   | 8145                    | + 6393 | - .15575             |
| 14      | 12.6    | 30.8                       | -2.6   | 7855                    | + 6103 | - .3007              |
| 15      | 13.6    | 31.0                       | + .6   | 7800                    | + 6048 | - .4386              |
| 16      | 14.6    | 33.8                       | + .4   | 8120                    | + 6368 | - .5673              |
| 17      | 15.6    | 38.0                       | + 4.6  | 7950                    | + 6198 | - .6851              |
| 18      | 16.1    | 36.5                       | + 3.1  | 8070                    | + 6318 | - .7354              |
| 19      | 16.6    | 36.3                       | + 2.9  | 8280                    | + 6528 | - .7839              |
| 20      | 17.4    | 35.0                       | + 1.6  | 8095                    | + 6343 | - .8278              |
| 21      | 17.6    | 40.2                       | + 6.8  | 8710                    | + 6988 | - .8674              |
| 22      | 18.6    | 37.5                       | + 4.1  | 9655                    | + 6903 | - .9316              |
| 23      | 19.6    | 42.3                       | + 8.9  | 11020                   | + 8268 | - .9752              |
| 24      | 20.6    | 46.1                       | + 12.7 | 11935                   | + 1183 | - .9973              |
| 25      | 21.1    | 45.5                       | + 12.1 | 11115                   | + 3663 | -1.0000              |

La correzione di bocca essendo dell'ordine di 1.17, il periodo corretto diviene

$$T = 29^m,7.$$

Circa le due integrazioni numeriche va osservato che, a motivo della simmetria del supposto lago, basta limitare l'integrazione all'intervallo  $0 \div l/2$ , poiché

$$\frac{1}{2lb_0} \int_0^l - \frac{1}{lb_0} \int_0^{l/2},$$

ed anche i valori di  $\cos \frac{2\pi x}{l}$ , per valori di  $x$  simmetricamente disposti nei due tratti  $\frac{l}{2}$ , sono uguali tra loro. La sessa di circa  $30^m$  osservata talvolta a Riva dovrebbe quindi interessare la parte settentrionale del Garda, limitata a sud dalla zona più profonda del lago.

4. — *Golfo di Desenzano.* Nel golfo di Desenzano possono presentarsi almeno due tipi di movimenti: sesse dovute allo zoccolo subacqueo prossimo alla costa e sesse dovute al golfo preso nel suo complesso e limitato a nord della linea Punta di Sermione-Punta S. Sevino.

Per quanto riguarda il primo tipo di sesse (« shelf-seiches » dei Giapponesi) valgono i profili da *a* a *p*. La media dei primi sette profili (fig. 6) dà una distanza dello zoccolo dalla riva di  $l=500$  m con una profondità media di  $h=4$  m. Il periodo della sessa corrispondente sarà pertanto

$$T = \frac{4l}{\sqrt{gh}} = 5^m,3.$$

La media dei profili da *h* a *p* (fig. 6) dà una distanza dello zoccolo dalla riva di 2000 m, con una profondità media di m 16; è allora

$$T = 10^m,65.$$

I profili da *d* a *o* danno in media i seguenti valori:  $l=m550$ ,  $h=4,4$ . Consegu

$$T = 5^m,6.$$

Le sesse dovute allo zoccolo del lago registrate a Desenzano dovrebbero avere quindi un periodo di ca.  $6^m$ . Le sesse di questo periodo

effettivamente registrate a Desenzano sono quindi da attribuirsi, più che a sesse multinodali interessanti l'intero lago (cosa molto improbabile), allo zoccolo del golfo. A Rivoltella, che trovasi proprio alla base del golfo stesso, le sesse dovute allo zoccolo dovrebbero avere periodi dell'ordine di  $11^m$ .

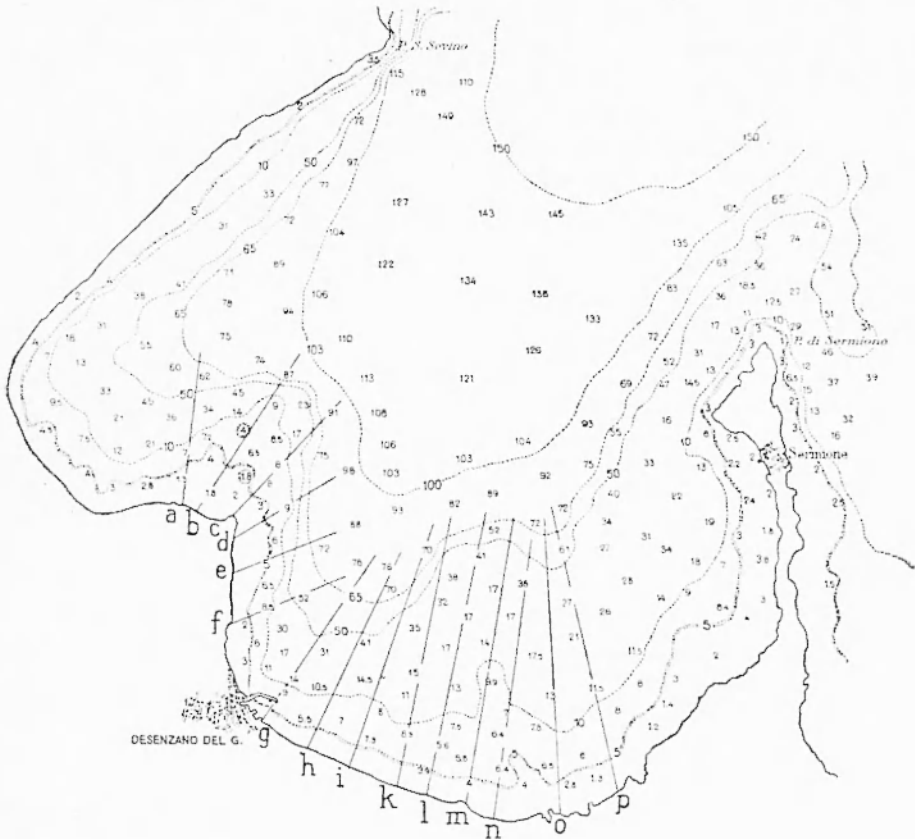


Fig. 6

Veniamo ora alle sesse interessanti l'intero golfo. Ho applicato dapprima il metodo che si sintetizza nella [13]. Le sezioni, prese normalmente alla linea di valle di cui già ci siamo serviti, sono praticamente quelle che si riferiscono al golfo di Desenzano nella trattazione relativa al bacino occidentale del Garda, salvo qualche modifica per le sezioni di bocca e l'aggiunta di una sezione sul fondo. La tabella N. 3 contiene i dati e i risultati del calcolo.

La correzione di bocca, calcolata con la [12] — dove va fatto  $\frac{b}{l} = 76$  —, è dell'ordine di 1,302. Il periodo corretto sarà pertanto

$$T = 18^m,5.$$

Questo valore può ritenersi di prima approssimazione. Un valore meno approssimativo possiamo ottenerlo applicando il metodo di Goldberg, che riguarda appunto le sesse dei gollì.

Uno dei metodi d'integrazione numerica più usati nel problema delle sesse fu dedotto da Defant da una trasformazione introdotta da R. von Sterneck nell'equazione del moto e in quella di continuità (la 1 e la 2 della precedente Nota). Lo spostamento orizzontale  $\xi$  e il dislivello  $\eta$ , per un determinato periodo  $T$ , abbiano l'espressione

$$\xi = \xi_v \cos \frac{2\pi}{T} x, \quad \eta = \eta_v \cos \frac{2\pi}{T} x,$$

dove  $\xi_v$ ,  $\eta_v$  rappresentano i massimi valori di queste grandezze, indipendenti dal tempo, nel posto  $x = x_v$ . Introducendo questi valori

TABELLA N. 3

| SEZIONI | $x$<br>km | $b(x)$<br>10 <sup>6</sup> cm | $S(x)$<br>10 <sup>6</sup> cm <sup>2</sup> | $\Delta b(x)$<br>km | $\Delta S(x)$<br>km <sup>2</sup> | $\cos 2\pi \frac{x}{l}$ |
|---------|-----------|------------------------------|---|---------------------|----------------------------------|-------------------------|
| 1       | 0         | 0                            | 0   | -5.58               | -2992                            | +1.0000                 |
| 2       | 35        | 34.5                         | 200                                       | -2.13               | -2792                            | + .9818                 |
| 3       | 65        | 42.1                         | 365                                       | -1.37               | -2627                            | + .9114                 |
| 4       | 1.35      | 41.5                         | 980                                       | -1.13               | -2012                            | - .7819                 |
| 5       | 1.85      | 72.7                         | 1615                                      | +1.69               | -1377                            | + .6039                 |
| 6       | 2.35      | 75.5                         | 2335                                      | +1.97               | -0657                            | + .3886                 |
| 7       | 2.85      | 77.5                         | 3615                                      | +2.17               | + .0653                          | + .1490                 |
| 8       | 3.35      | 75.0                         | 4510                                      | +1.92               | +1518                            | - .0996                 |
| 9       | 3.85      | 71.5                         | 4950                                      | +1.57               | +1958                            | - .3423                 |
| 10      | 4.35      | 67.5                         | 5175                                      | +1.17               | +2483                            | - .56305                |
| 11      | 4.85      | 65.8                         | 4815                                      | +1.00               | +1823                            | - .7497                 |
| 12      | 5.60      | 50.6                         | 4975                                      | - .52               | -1983                            | - .9396                 |
| 13      | 6.3       | 47.8                         | 5000                                      | - .80               | +2008                            | -1.0000                 |

$$l = 12,6 \text{ km}, \quad h_0 = m \ 53,6, \quad T_0 = 18^m,3;$$

$$\frac{1}{lb_0} \int_0^{\frac{l}{2}} \Delta b(x) \cos 2\pi \frac{x}{l} dx = -0126; \quad \frac{1}{lS_0} \int_0^{\frac{l}{2}} \Delta S(x) \cos 2\pi \frac{x}{l} dx = -02132$$

$$T = 18,3 \times 0,7742 = 14^m,2$$



nelle equazioni di moto e di continuità sopra ricordate, prescindendo dal fattore tempo, si ottiene per i valori massimi  $\xi_v$ ,  $\eta_v$  le relazioni

$$\left\{ \begin{array}{l} \frac{4\pi^2}{T^2} \eta_v = g \frac{d\eta}{dx}, \\ \eta_v = -\frac{1}{b(x)} \frac{d}{dx} \left[ S(x_v) \cdot \xi_v \right]. \end{array} \right. \quad [14]$$

Per l'integrazione delle [14] vale il metodo di Defant. Il bacino venga suddiviso in  $n$  parti, mediante  $n$  sezioni trasversali  $S_v$ , praticate nei punti  $x = x_v$ ,  $v = 1, 2, \dots, n$ ;  $\Delta x_v$ ,  $\Delta v_v$  siano le parti dell'asse  $x$  e le porzioni di superficie libera comprese fra due sezioni  $S_v$  e  $S_{v-1}$ , rispettivamente;  $m_v$  sia il volume d'acqua che nel tempo  $T/4$ , fra la quiete e l'estremo spostamento di una particella, passa attraverso la sezione  $S_v$ . Poiché per onde lunghe  $\eta$  varia molto lentamente con  $x$ , Defant suppone costante il valore del dislivello per ogni superficie parziale  $\Delta v_v$ ; il suo ammontare sia  $\eta_{v-1}$ . In tal modo, la superficie libera in oscillazione viene sostituita da  $n$  gradini. L'integrazione numerica in un lago s'inizia con un arbitrario valore  $\eta_0$  del dislivello, in corrispondenza del ventre all'estremo  $x=0$  dell'asse; vengono quindi, di suddivisione in suddivisione, calcolate le grandezze  $m$ ,  $\xi_v$ ,  $\eta_v$  secondo lo schema

$$\left\{ \begin{array}{l} m_v = -\sum_1^n \eta_{v-1} \cdot \Delta v_v; \quad \xi_v = \frac{m_v}{S_v}, \\ \Delta \eta_v = \frac{4\pi^2}{g T^2} \cdot \xi_v \cdot \Delta x_v, \quad \eta_v = \eta_{v-1} + \Delta \eta_v. \end{array} \right. \quad [15]$$

Posto  $m_v = S_v \cdot \xi_v$ , la 1<sup>a</sup> delle [15] deriva dalla 2<sup>a</sup> delle [14]; la terza consegue dalla 1<sup>a</sup> delle [14], sostituendo i differenziali  $d\eta_v$ ,  $dx$  con le differenze  $\Delta \eta_v$ ,  $\Delta x_v$ .

La scelta corretta del periodo  $T$  comporta all'altro estremo chiuso del lago ( $x = x_n$ ), dove  $\xi = 0$ , l'annullarsi del volume del liquido

$$m_n = -\sum_1^n \eta_{v-1} \cdot \Delta v_v = 0.$$

Se rimane un « resto »  $m_n > 0$  (per  $\eta_0 > 0$ , periodo troppo piccolo) o  $m_n < 0$  (per  $\eta_0 < 0$ , periodo troppo grande), il calcolo va ripetuto, con periodo opportunamente modificato. Interpolazioni li-

neari tra valori troppo grandi e troppo piccoli conducono al risultato finale più rapidamente.

Il metodo esposto può servire anche per golfi, applicando lo schema [15] a partire dall'estremità chiusa, con l'avvertenza che la condizione al contorno esige che sia all'estremità aperta del golfo  $\eta_n = 0$ .

Un altro metodo relativo ai golfi è, come si è detto, quello di J. Goldberg, il quale prende le mosse dalla bocca del golfo ( $\eta_0 = 0$ ), supponendo arbitraria la massa d'acqua  $m_0$  che attraversa la sezione di bocca  $S_0$  nel tempo  $T/4$ .

La massa d'acqua  $m_0$  determina i massimi spostamenti orizzontali  $\xi_v$  e dislivelli  $\eta_v$  nell'interno del golfo. La 1<sup>a</sup> delle [14], scritta nella forma

$$\frac{d\eta_v}{dx} = \frac{4\pi^2}{gT^2} \xi_v,$$

dà l'inclinazione della tangente al profilo longitudinale della superficie libera oscillante del golfo. Poiché questa inclinazione viene supposta costante per ogni suddivisione, ciò che equivale a ritenere trascurabile il piccolissimo ammontare di  $\frac{d^2\eta}{dx^2}$  in tutti i casi di bacini naturali, il profilo longitudinale del golfo in oscillazione viene approssimato in una linea spezzata, i cui tratti corrono parallelamente alla tangente di profilo. Ora è

$$\Delta \eta_{v+1} = \frac{d\eta_v}{dx} \Delta x_{v+1}$$

e lo schema di calcolo per l'integrazione numerica diviene:

$$\xi_v = \frac{m_v}{S_v}, \quad \frac{d\eta_v}{dx} = \frac{4\pi^2}{gT^2} \xi_v,$$

$$\eta_{v+1} = \eta_v + \frac{d\eta_v}{dx} \Delta x_{v+1}, \quad m_{v+1} = m_v - \frac{\eta_v + \eta_{v+1}}{2} \Delta v_{v+1}. \quad [16]$$

L'ultima delle [16] esprime che l'eccedenza dell'acqua entrante da  $S_v$  su quella uscente da  $S_{v+1}$  determina il dislivello sulla superficie  $\Delta v_{v+1}$  che intercede fra queste sezioni.

La relazione sul contorno per l'estremo chiuso del golfo dà ora nuovamente

$$m_n = m_0 - \sum_{v=1}^{n-1} \frac{\eta_v + \eta_{v+1}}{2} \Delta v_{v+1} = 0. \quad [17]$$

L'applicazione del metodo di Goldberg al golfo di Desenzano, con i periodi  $14^m$ ;  $15^m,0$ ;  $15^m,2$  ha dato per  $m_n$  i valori  $-.081$ ,  $-.049$ ,  $-.031$  rispettivamente che non soddisfano la [17]. Il valore  $T=15^m,5$  portò invece ad un  $m_n$  pressoché nullo.

La tabella N. 4 contiene i dati e l'andamento del calcolo.

TABELLA N. 4

| SEZIONI | $S_V$<br>$10^4 m^2$ | $\Delta F_V$<br>m | $\Delta v_V$<br>$10^4 m^2$ | $T=15^m,5$   |               |                     |
|---------|---------------------|-------------------|----------------------------|--------------|---------------|---------------------|
|         |                     |                   |                            | $\xi_V$<br>m | $\eta_V$<br>m | $m_V$<br>$10^7 m^2$ |
| 0       | 50.00               | 0                 | 0                          | 20.0         | 0             | 1.000               |
| 1       | 49.75               | 700               | 343                        | 19.9         | .065          | .989                |
| 2       | 48.15               | 750               | 391                        | 19.7         | .131          | .950                |
| 3       | 54.75               | 500               | 316                        | 16.4         | .180          | .900                |
| 4       | 49.50               | 500               | 347                        | 16.3         | .218          | .831                |
| 5       | 45.40               | 500               | 357                        | 16.4         | .257          | .716                |
| 6       | 36.45               | 500               | 377                        | 17.6         | .295          | .642                |
| 7       | 23.35               | 500               | 391                        | 22.2         | .336          | .518                |
| 8       | 16.15               | 500               | 371                        | 23.7         | .388          | .383                |
| 9       | 9.80                | 500               | 301                        | 26.3         | .443          | .258                |
| 10      | 3.65                | 500               | 206                        | 43.8         | .504          | .160                |
| 11      | 2.00                | 500               | 166                        | 31.0         | .606          | .068                |
| 12      | 0.00                | 350               | 113                        |              | .661          | -.004               |

Corretto il periodo dall'effetto di bocca, si ottiene in definitiva

$$T=20^m,2$$

La fig. 7 dà l'andamento degli spostamenti verticali provocati dalla sessa.

Il periodo della sessa del golfo di Desenzano risulta quindi prossimo a quello della sessa binodale del bacino occidentale del Garda: nelle registrazioni però dovrebbe essere facilmente individuabile poi-

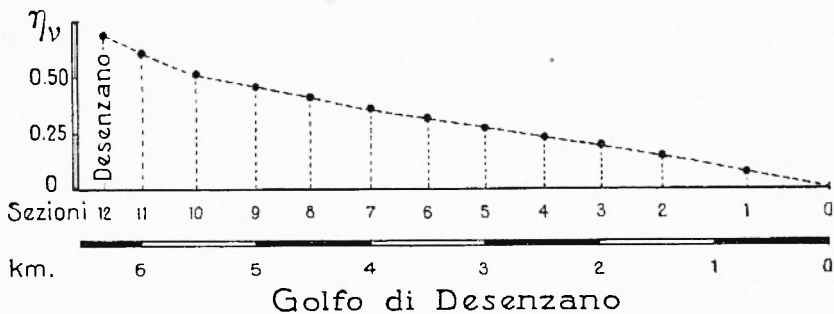


Fig. 7

ché, com'è noto, le sasse dei golfi o delle baie sono notevolmente smorzate. In forza di questo smorzamento, anzi, il periodo della sassa del golfo potrebbe risultare lievemente maggiore; l'azione prolungatrice dello smorzamento potrà però essere dedotta solo dalle osservazioni.

5. — *Golfo di Salò*. Il golfo di Salò presenta caratteristiche morfologiche adatte all'amplificazione dei moti liberi e forzati delle sue acque. La bocca del golfo può pensarsi costituita dalla sezione verticale che dalla punta orientale dell'isola di Garda va alla punta di Fasano. Il golfo (fig. 8) è stato suddiviso in 15 sezioni mediante piani trasversali, normali alla linea di valle. I dati necessari al calcolo sono contenuti parte nella tabella N. 5 e parte nella tabella N. 6.

Un primo valore approssimato della sassa uninodale interessante l'intero golfo fu ottenuto applicando la [13].

La tabella N. 5 contiene i dati e i risultati del calcolo relativo.

TABELLA N. 5

| SEZIONI | $x$<br>km | $b(x)$<br>km | $S(x)$<br>km <sup>2</sup> | $\Delta b(x)$<br>km | $\Delta S(x)$<br>km <sup>2</sup> | $\cos 2\pi \frac{x}{l}$ |
|---------|-----------|--------------|---------------------------|---------------------|----------------------------------|-------------------------|
| 1       | 0         | 0            | 0                         | -2.05               | -144                             | 1.0000                  |
| 2       | .25       | .55          | .018                      | -1.50               | -126                             | .9910                   |
| 3       | .65       | .90          | .041                      | -1.15               | -103                             | .9411                   |
| 4       | 1.07      | 1.00         | .051                      | -1.05               | -093                             | .8431                   |
| 5       | 1.18      | .93          | .053                      | -1.12               | -091                             | .7071                   |
| 6       | 1.88      | 1.15         | .068                      | -.90                | -076                             | .5122                   |
| 7       | 2.28      | 1.37         | .087                      | -.68                | -057                             | .3529                   |
| 8       | 2.65      | 1.45         | .100                      | -.60                | -044                             | .1639                   |
| 9       | 3.03      | 1.50         | .102                      | -.55                | -042                             | -.0369                  |
| 10      | 3.43      | 3.00         | .118                      | + .95               | -026                             | -.2467                  |
| 11      | 3.85      | 3.37         | .161                      | + 1.32              | + 020                            | -.4550                  |
| 12      | 4.22      | 3.30         | .233                      | + 1.25              | + 089                            | -.6198                  |
| 13      | 4.62      | 3.33         | .256                      | + 1.28              | + 112                            | -.7713                  |
| 14      | 5.00      | 3.50         | .294                      | + 1.45              | + 150                            | -.8832                  |
| 15      | 5.48      | 3.67         | .333                      | + 1.62              | + 189                            | -.9728                  |
| 16      | 5.92      | 3.75         | .382                      | + 1.70              | + 238                            | -1.0000                 |

$$l = 11,84 \text{ km} \quad , \quad h_0 = 70,2 \text{ m},$$

$$\frac{1}{lb_0} \int_0^l \Delta b(x) \cos 2\pi \frac{x}{l} dx = -.199 \quad ; \quad \frac{1}{lS_0} \int_0^l \Delta S(x) \cos 2\pi \frac{x}{l} dx = -.267$$

$$\text{Poiché } T_0 = \frac{2l}{\sqrt{gh_0}} = 15^m,03 \text{ consegue}$$

$$T = T_0(1 - .199 - .267) = 8^m,03.$$

Inoltre, tenuto conto che  $\frac{b}{l} = 6334$  si ha, per la correzione di bocca, 1,286 per cui, il periodo corretto sarà

$$T = 10^m.3.$$

Un valore più approssimato dà l'applicazione del metodo di Goldberg. Il valore  $T = 9^m$  essendo risultato troppo piccolo, furono fatte

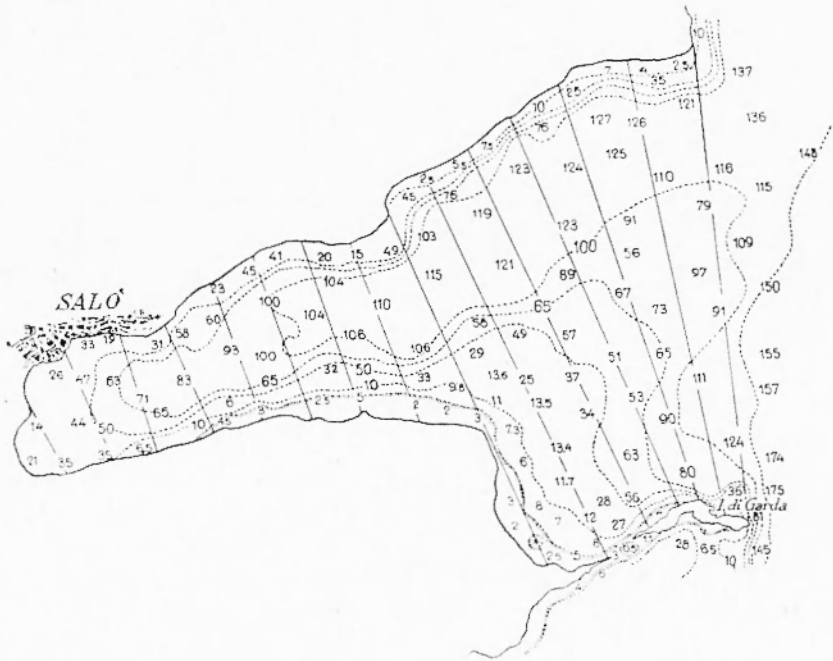


Fig. 8

ulteriori applicazioni con i valori  $T = 10^m$  e  $T = 10^m.1$ . Quest'ultimo soddisfa pienamente alle condizioni del metodo. La tabella N. 6 contiene i dati e i risultati dell'elaborazione. Ricordando la correzione di bocca, consegue per il periodo della sessa uninodale del golfo di Salò il valore

$$T = 13^m.37.$$

La fig. 9 dà l'andamento della componente verticale della sessa lungo tutto il golfo. Riesce interessante il suo confronto con l'analogo andamento per la sessa del golfo di Desenzano. Dalle tabelle risulta che la sezione di bocca del golfo di Salò è circa 76 volte quella del golfo di Desenzano; dagli spostamenti massimi calcolati per gli estremi dei

TABELLA N. 6

| SEZIONI | $S_V$<br>$10^4 m^2$ | $\Delta x_V$<br>m | $\Delta r_V$<br>$10^4 m^2$ | $T = 10^m, 4$ |               |                     |
|---------|---------------------|-------------------|----------------------------|---------------|---------------|---------------------|
|         |                     |                   |                            | $\xi_V$<br>m  | $\eta_V$<br>m | $m_V$<br>$10^6 m^3$ |
| 0       | 38.2                | 0                 | 0                          | 26.2          | 0             | 1.000               |
| 1       | 33.3                | 410               | 110                        | 29.8          | -119          | -992                |
| 2       | 29.4                | 480               | 137                        | 32.9          | -267          | -966                |
| 3       | 25.6                | 380               | 108                        | 36.3          | 396           | -930                |
| 4       | 23.3                | 400               | 117                        | 37.6          | 516           | -875                |
| 5       | 16.4                | 370               | 133                        | 48.1          | -690          | -793                |
| 6       | 11.8                | 420               | 140                        | 57.8          | -900          | -682                |
| 7       | 10.2                | 400               | 80                         | 58.8          | 1.139         | -600                |
| 8       | 10.0                | 380               | 55                         | 53.1          | 1.370         | -531                |
| 9       | 8.7                 | 370               | 52                         | 52.2          | 1.573         | -451                |
| 10      | 6.8                 | 400               | 50                         | 51.1          | 1.789         | -370                |
| 11      | 5.3                 | 400               | 43                         | 51.3          | 2.011         | -288                |
| 12      | 5.1                 | 410               | 37                         | 41.0          | 2.241         | -209                |
| 13      | 4.1                 | 420               | 35                         | 31.0          | 2.422         | -127                |
| 14      | 1.8                 | 400               | 40                         | 15.6          | 2.550         | -028                |
| 15      | 0.0                 | 250               | 9                          |               | 2.590         | -005                |

due golfi si deduce che l'ampiezza della sessa a Salò è circa tre volte quella dell'analoga a Desenzano.

Il golfo di Salò, come risulta dalla fig. 8, all'altezza di Barbarano si restringe bruscamente e sensibilmente, dando luogo ad un golfo meno esteso, che può essere, a sua volta, sede di moti stazionari liberi. Ho determinato pertanto il periodo della sessa unimodale relativa a questo golfo ristretto. Mi sono valso di 9 sezioni, dalla bocca

TABELLA N. 7

| SEZIONI | $S_V$<br>$10^4 m^2$ | $\Delta x_V$<br>m | $\Delta r_V$<br>$10^4 m^2$ | $T = 7^m, 5$ |               |                     | $T = 7^m, 8$ |               |                     |
|---------|---------------------|-------------------|----------------------------|--------------|---------------|---------------------|--------------|---------------|---------------------|
|         |                     |                   |                            | $\xi_V$<br>m | $\eta_V$<br>m | $m_V$<br>$10^6 m^3$ | $\xi_V$<br>m | $\eta_V$<br>m | $m_V$<br>$10^6 m^3$ |
| 0       | 11.5                | 0                 | 0                          | 8.7          | 0             | 1.000               | 8.7          | 0             | 1.000               |
| 1       | 10.2                | 400               | 62                         | 9.6          | 069           | -979                | 9.6          | -064          | -980                |
| 2       | 10.0                | 380               | 55                         | 9.2          | -112          | -921                | 9.3          | -131          | -926                |
| 3       | 8.7                 | 370               | 52                         | 9.5          | 210           | -829                | 9.7          | -194          | -841                |
| 4       | 6.8                 | 400               | 50                         | 10.4         | 286           | -705                | 10.7         | -265          | -726                |
| 5       | 5.3                 | 400               | 43                         | 10.6         | 369           | 561                 | 11.2         | 344           | -595                |
| 6       | 5.1                 | 410               | 37                         | 8.1          | -455          | -412                | 8.9          | -428          | -452                |
| 7       | 4.1                 | 420               | 35                         | 5.9          | -523          | -211                | 7.1          | -197          | -290                |
| 8       | 1.8                 | 400               | 40                         | 1.2          | -570          | 022                 | 4.5          | 549           | -081                |
| 9       | 0.0                 | 250               | 9                          |              | -576          | -030                |              | 570           | -031                |

al fondo del golfo. I dati relativi e i risultati definitivi del calcolo (fatti dapprima con i valori  $7^m.5$  e  $7^m.8$  per il periodo) sono contenuti nella tabella N. 7.

In questo caso il fattore della correzione di bocca risulta pari a 1.2724, per cui il periodo corretto è

$$T = 9^m.7.$$

Terminati i calcoli, ho avuto a disposizione le registrazioni di

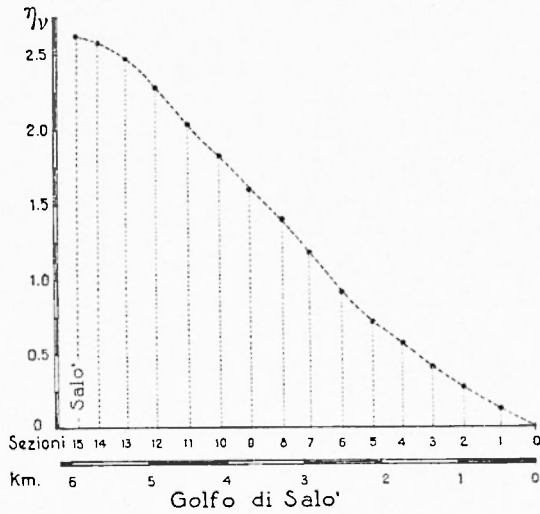


Fig. 9

Salò, dalle quali risulta che, in effetti, a Salò vengono registrate *esclusivamente* (almeno nei due anni 1910-11 dei quali ho potuto usufruire) le due sesse sopra calcolate, con prevalenza del tipo relativo al golfo ridotto. Riporto qui alcuni esempi di registrazione (fig. 10 a pag. seguente).

Le conclusioni generali saranno dedotte dopo lo studio della parte orientale del lago (Peschiera-Garda) e l'esame delle registrazioni.

Roma — Istituto Nazionale di Geofisica — marzo 1947.

#### RIASSUNTO

*Si riferiscono i risultati della seconda parte di una ricerca sulle sesse del Benaco. Dopo aver corretto i valori ottenuti da Defant nel suo primo lavoro sullo stesso argomento, si prova che la sessa di  $30^m$  ca.*

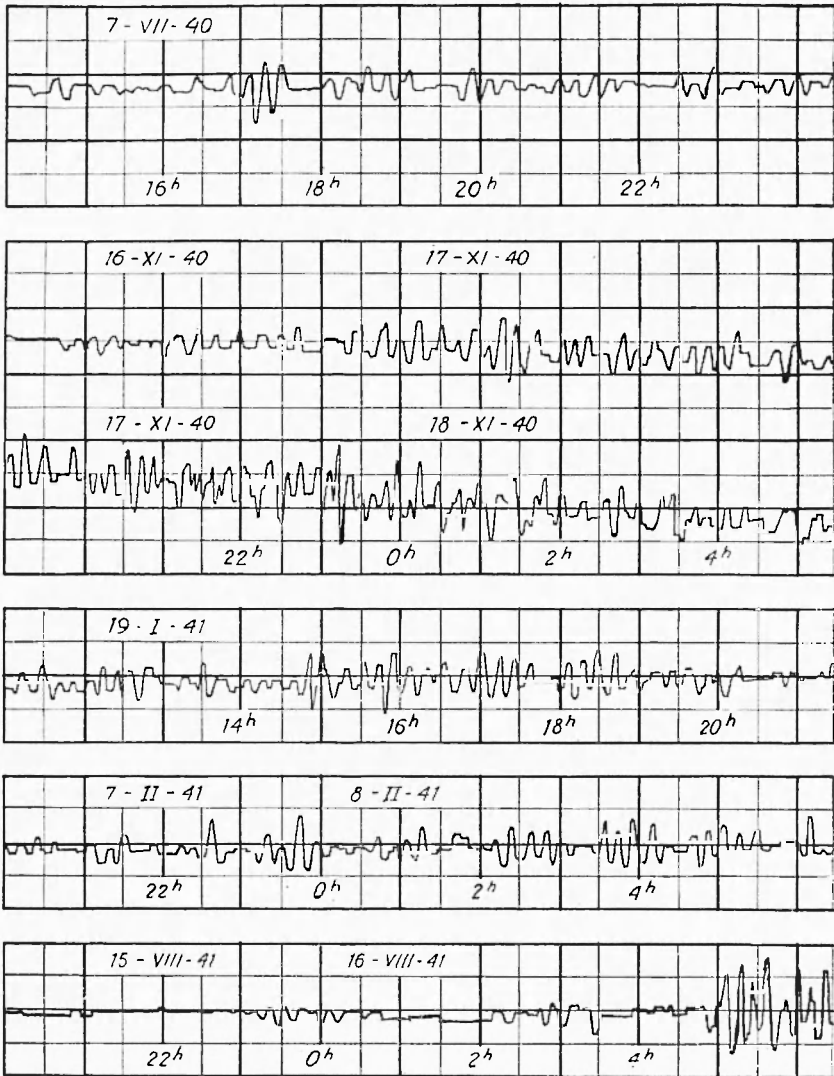


Fig. 10

Esempi di sesse del Golfo di Salò (riduz. ca  $\frac{1}{6}$ )

registrata a Riva, interessa solo la parte settentrionale del Garda. Si calcolano quindi le sesse della parte occidentale del lago (Desenzano-Riva), mettendo in evidenza che solo la binodale soddisfa alle condizioni fisiche richieste per la sua realizzazione. Si determinano infine



*le sesse e le "shelf-seiches" del Golfo di Desenzano e le sesse del Golfo di Salò.*

## BIBLIOGRAFIA

- (<sup>1</sup>) CALOI P.: *Le sesse del lago di Garda - Parte Prima* - Ann. di Geof., I. 1 (1918).
- (<sup>2</sup>) DEFANT A.: *Ueber die stehenden Seespiegelschwankungen (Seiches) in Riva am Gardasee* - Sitzungsberichte der K. Akademie der Wissenschaften, Wien, Mathematisch. - Naturwiss. Klasse, CXVII Band, Abteilung II, 1908.
- (<sup>3</sup>) DEFANT A.: *Neue Methode zur Ermittlung der Eigenschwingungen (Seiches) von abgeschlossenen Wassermassen (Seen, Buchten usw.)* - Annalen der Hydrographie u.s.w., 46, 1918, Heft II.
- (<sup>4</sup>) NAKAMURA S. e HONDA K.: *Seiches in Some Lakes of Japan* - The journal of the College of Science, Imperial University of Tokyo, XXVIII, 1910.
- (<sup>5</sup>) HONDA K., TERADA T., YOSHIDA Y. e ISITANI D.: *An Investigation on the secondary undulations of oceanic tides* - The journal of the College of Science, XXIV, 1908.
- (<sup>6</sup>) STERNECK R.: *Zur Theorie der Gezeiten des Mittelmeeres* - Sitzungsber. d. Ak. d. Wiss., CXXII, Abt. II, 1913.
- (<sup>7</sup>) GOLDBERG J. und KEMPNY K.: *Ueber die Schwingungen der Bucht von Bakar und das allgemeine Problem der Seiches von Buchten* - Académie Jougo-lave des Sciences et des Beaux - Arts, Zagreb, 1937.